

تنوع ژنتیکی جدایه‌های فیتوپلاسمای همراه با بیماری جاروک بادام در استان‌های فارس، کرمان و کردستان*

GENETIC DIVERSITY OF THE PHYTOPLASMA ISOLATES ASSOCIATED WITH ALMOND WITCHES' BROOM IN IRAN

حامد پورعلی^۱ و محمد صالحی^۲

(تاریخ دریافت: ۱۳۹۰/۷/۱۸؛ تاریخ پذیرش: ۱۳۹۱/۱/۳۰)

چکیده

بیماری جاروک بادام که فیتوپلاسمای همراه با آن *Candidatus Phytoplasma phoenicum* نام دارد در حال حاضر یکی از مخرب‌ترین بیماری‌های بادام در ایران و لبنان است. تنوع ژنتیکی در فیتوپلاسمای همراه با جاروک بادام در نمونه‌های تهیه شده در دو نقطه از باغ‌های اطراف نیریز (جدایه‌های نیریز ۱ و نیریز ۲)، یک نقطه از مشکان نیریز (جدایه مشکان)، دو نقطه در اطراف کرمان (جدایه‌های کرمان ۱ و کرمان ۲) و یک نقطه در شهرستان سنتندج (جدایه سنتندج) بررسی گردید. نهال‌های بادام تلخ مایه‌زنی شده با جدایه‌های عامل جاروک بادام در شرایط کنترل شده و اکتشن‌های متفاوتی را نشان دادند. RFLP مخصوص PCR مستقیم با جفت آغازگر P1/P7 (نقریه ۱۸۰۰ جفت باز از اپرون ار.ان.ای ریبوزومی) با آنزیم‌های *AluI*, *CfoI*, *HaeIII*, *HinfI*, *HpaII*, *RsaI*, *TaqI* نشان داد که جدایه مشکان از نظر نقوص حاصل از برش با انزیم *CfoI* و جدایه کرمان ۲ از نظر نقوش حاصل از برش با آنزیم *HinfI* با بقیه متفاوت‌اند و بر این اساس جدایه‌های مورد مطالعه در ۳ گروه قرار می‌گیرند. جدایه مشکان در گروه یک، جدایه کرمان ۲ در گروه دو و جدایه‌های کرمان ۱، سنتندج، نیریز ۱ و نیریز ۲ در گروه سه قرار گرفتند. مقایسه میزان تشابه نوکلئوتیدی در ناحیه SR نیز تفاوت جدایه‌های عامل جاروک بادام را تأیید کرد و نشان داد که جدایه مشکان با دیگر جدایه‌های مورد مطالعه تفاوت قابل ملاحظه‌ای دارد. بررسی تبارزایی براساس ترادف اپرون آر ان ای ریبوزومی، جدایه‌های عامل جاروک بادام را در گروه جاروک نخود کیوت (Pigeon pea witches' broom 16S rIX,) قرار داد و نشان داد که این جدایه‌ها یکسان نیستند. تمامی بررسی‌های مولکولی تفاوت جدایه خفر با جدایه‌های مورد مطالعه در این تحقیق را تأیید کرد. بررسی‌های RFLP مقایسه میزان تشابه نوکلئوتیدی و تبارزایی نشان داد که تفاوت ژنتیکی جدایه‌های جاروک بادام مربوط به ۶۰۰ جفت باز از اپرون ار ان ای ریبوزومی شامل انتهای ۵' ۱۶S، ناحیه SR و ابتدای ۳' ۲۳S است.

واژه‌های کلیدی: جاروک بادام، فیتوپلاسما، تنوع ژنتیکی

*: بخشی از پایان‌نامه کارشناسی ارشد نگارنده اول، ارایه شده به دانشکده کشاورزی، دانشگاه آزاد اسلامی واحد دامغان

**: مسئول مکاتبات، پست الکترونیکی: salehi_abarkoooh@yahoo.com

۱. دانشجوی سابق کارشناسی ارشد بیماری‌شناسی، دانشکده کشاورزی، دانشگاه آزاد اسلامی واحد دامغان

۲. استادیار پژوهشی مرکز تحقیقات کشاورزی و منابع طبیعی فارس

مقدمه

برای آن *Candidatus Phytoplasma phoenicum* انتخاب گردید (Verdin *et al.* 2003). جاروک بادام وحشی (*Prunus scoparia*) نیز در مناطق میمند، کوار، فیروزآباد (استان فارس) و سرچهان (استان یزد) مشاهده گردید. آنالیزهای مولکولی فاصله بین ژنهای (spacer region, SR) 23S rRNA و 16S rRNA نشان داد که فیتوپلاسمای همراه با جاروک بادام وحشی کوار متعلق به گروه جاروک نخود کبوتر می‌باشد و در بین اعضای این گروه رابطه بسیار نزدیکی با فیتوپلاسماهای همراه با جاروک بادام لبنان (*Ca. P. phoenicum*) و جاروک بادام نیریز در ایران دارد (Salehi *et al.* 2006). جاروک بادام ویژگی‌های بیولوژیکی و مولکولی جاروک بادام در مناطق فیتوپلاسماهای همراه با بیماری جاروک بادام در نیریز و خفر (استان فارس) یکسان نیستند و فیتوپلاسمای همراه با جاروک بادام در نیریز نسبت به جدایه خفر شباهت بیشتری به فیتوپلاسمای همراه با جاروک بادام در لبنان دارد (Salehi *et al.* 2006). با توجه به گزارش قبلی مبنی بر اختلاف ژنتیکی جدایه‌های خفر و نی ریز (Salehi *et al.* 2006) و هم‌چنین وجود تفاوت علایم بیماری جاروک در بعضی از نقاط بادام‌خیز، احتمال وجود تفاوت ژنتیکی بین فیتوپلاسمای همراه با جاروک بادام در استان‌های فارس، کرمان و کردستان با استفاده از روش‌های بیولوژیکی و مولکولی بررسی شد.

روش بررسی

جمع‌آوری نمونه‌های جاروک بادام

در هر باغ آلوده مورد نظر یک جارو با علایم بارز بیماری جاروک بادام انتخاب شد. نمونه‌های بیماری جاروک بادام از باغهای آلوده در استانهای فارس (جدایه‌های نیریز ۱ و نیریز ۲ و مشکان)، کرمان (جدایه‌های

از آغاز کشف فیتوپلاسماهای در سال ۱۹۶۷ میلادی ارتباط چند صد بیماری مهم گیاهی با این عوامل گزارش شده و لیست این گونه بیماری‌ها رو به افزایش است. بیماری‌های فیتوپلاسمایی موجب عقیمی و مرگ گیاه میزان شده و اغلب خسارت آنها صد درصد است. بهمین دلیل این گونه بیماری‌ها عامل عمدۀ محدودیت کشت بسیاری از گیاهان از جمله گیاهان زراعی، سبزی و صیفی، زیستی، درختان مثمر و غیرمثمر می‌باشند (Lee *et al.* 2000, Bove and Garnier 2002, Bertaccini 2007, Hogenhout 2008). در ایران تاکنون ده‌ها بیماری همراه با فیتوپلاسمای شناسایی شده که از بین آنها جاروک یونجه، جاروک لیموترش، زوال گلابی، جاروک هلو و جاروک بادام در زمرة بیماری‌های مهم و اقتصادی در جهان بوده و در ایران نیز تهدیدی جدی برای میزان‌های گیاهی خود می‌باشند (Salehi *et al.* 2005). جاروک بادام به عنوان یک بیماری مهم و اقتصادی برای اولین بار در سال ۱۳۷۴ از مناطق خفر و میمند در استان فارس گزارش گردید (Salehi and Izadpanah 1995).

در بررسی‌های سال‌های ۱۳۸۴-۰ جاروک بادام در استان‌های چهارمحال و بختیاری (شهرکرد)، اصفهان (شهرضا) و کرمان (بافت) دیده شد (Salehi *et al.* 2000). بیماری مشابهی در درختان بادام کشور لبنان در سال ۲۰۰۱ گزارش گردید (Choueiri *et al.* 2000, Abou-Jawdah *et al.* 2002). آنالیز چند شکلی طولی قطعات برشی (RFLP) و تعیین ترادف ژن آر ن ای ریبوزومی 16S نشان داد که فیتوپلاسمای عامل بیماری جاروک بادام در لبنان و ایران متعلق به گروه جاروک نخود کبوتر (Pigeon pea witches' broom) یا گروه 16SrIX-A و زیر گروه 16SrIX-2 می‌باشد و نام

گردیدند و از کلیه تغییرات احتمالی به وجود آمده در آنها عکس برداری شد. در طول این مدت عملیات با غبانی و به خصوص تغذیه نهال‌ها با استفاده از انواع کودهای شیمیایی و ریز مغذی‌ها صورت گرفت. تغذیه مناسب باعث شد تا ضمن این‌که درختان از رشد سبزینگی و رویشی خوبی برخودار باشند، از بروز علایم کمبود مواد غذایی که برخی از آنها شبیه به علایم به وجود آمده در اثر فیتوپلاسماهای هستند جلوگیری شود. مبارزه با برخی آفات از قبیل کنه با استفاده از سموم مناسب و اختصاصی صورت گرفت.

استخراج دی ان ای کل، انتخاب آغازگر و انجام PCR
دی ان ای کل با روش ژانگ و همکاران (Zhang *et al.* 2002) با اندکی تغییرات (Abou-Jawdah *et al.* 1998) از ۰/۲ گرم بافت رگبرگ میانی یا دمبرگ نمونه‌های بیماری جاروک بادام از نقاط مختلف و نهال‌های بادام تلخ مایه‌زنی شده با فیتوپلاسمای عامل جاروک بادام استخراج گردید. بعد از خشک شدن رسوب نهایی در دمای اتاق، ۵۰ میکرولیتر آب دو بار تقطیر سترون به آن اضافه و در ۲۰°C نگهداری شد تا از آن به عنوان دی ان ای PCR در آزمایش‌های PCR استفاده شود. آزمون PCR مستقیم با استفاده از جفت آغازگر عمومی (Schneider *et al.* 1995) P1/P7 و PCR دو مرحله‌ای با استفاده از جفت آغازگرهای P1/P7 در دور اول و R16F2n / R16R2 در دور دوم انجام شد. جفت آغازگر P1/P7 یک قطعه ۱۸۰۰ جفت بازی از اپرون آر ان ای ریبوزومی شامل ژن 16S ناحیه میانی ژن‌های 16S و 23S و ابتدای ژن 23S و جفت آغازگر R16F2n/R16R2 یک قطعه از ژن ار ان ای ریبوزومی 16S با اندازه تقریبی ۱۲۰۰ جفت باز را تکثیر

کرمان اوکرمان (جدا ایه سنتدج) در کیسه پلاستیکی و روی یخ به آزمایشگاه مرکز تحقیقات کشاورزی و منابع طبیعی فارس در زرقاران منتقل گردید تا از آنها برای تهیه پیوندک آلوده در آزمایش‌های انتقال عامل بیماری و استخراج دی ان ای کل جهت آزمایش‌های مولکولی استفاده شود.

مايه‌زنی نهال‌های سالم بادام تلخ

برای انتقال باروش پیوند جانبی از سرشاخه‌های ظریف و کوچک نمونه‌های جمع‌آوری شده که دارای دو تا سه برگ بود به عنوان پیوندک و از نهال‌های سالم بذری بادام تلخ به عنوان پایه استفاده شد. پس از انتخاب و جدا کردن پیوندک از نمونه‌های جمع‌آوری شده، قسمت انتهایی آن (محل جدا کردن پیوندک از گیاه آلوده) بهوسیله یک تیغ تیز و استریل به صورت مورب برش داده شد و سپس درون شکافی که درساقه نهال سالم (پایه) ایجاد شده بود قرار گرفت. هر نمونه روی سه نهال سالم (۳ پیوند روی هر نهال) بادام تلخ پیوند گردید. برای گرم ماندن و تأمین رطوبت لازم جهت پیوندک و گیرایش بهتر پیوندک‌ها، موضع پیوند بهوسیله پارافیلم بسته و ناحیه پیوند شده بهوسیله یک کیسه نایلونی شفاف پوشانده شد. هر ۲۴ ساعت یکبار کیسه‌های نایلونی باز شد و گیاهان هوا دهی شدند. جهت حصول اطمینان از گیرایش قطعی پیوندک‌ها، کیسه‌های نایلونی در همین وضعیت و به مدت چهار هفته نگهداری شدند.

بررسی گیاهان مایه‌زنی شده از نظر ظهور علایم بیماری حدود یک ماه پس از مایه‌زنی نهال‌های مورد آزمایش و اطمینان از گیرایش پیوندک‌ها، گیاهان مایه‌زنی شده هفته‌ای یکبار از نظر ظهور و گسترش علایم بیماری بررسی

و براساس روش *کسی* و *AluI HpaII, RsaI, TaqI* همکاران (Lee et al. 1998) برش داده شد. محلول پایه واکنش به ۲۰ میکرولیتر تنظیم گردید. برای برش با هر آنزیم ۰/۱۵ میکرولیتر از آن آنزیم به همراه دو میکرولیتر بافر آنزیم و ۹/۸۵ میکرولیتر آب دو بار تقطیر سترون به ۸ میکرولیتر محصول PCR اضافه شد. برای جلوگیری از تبخیر مواد یک قطره (حدود ۱۳ میکرولیتر) روغن معدنی استریل به هر لوله اضافه و سپس به مدت چهار ساعت در دستگاه ترموبلاک با دمای ۳۷ °C (در مورد آنزیم *TaqI* ۱۵ ساعت در ۶۵ °C) قرار داده شد. محصول هضم شده با آنزیمهای مختلف در ژل آگاروز دو درصد الکتروفورز شد و پس از رنگآمیزی با اتیدیوم بروماید با استفاده از دستگاه ژل داکیومنت بررسی شد.

همسانه‌سازی و تعیین ترادف

از محصول PCR مستقیم (۱۸۰۰ جفت باز) مربوط به هر یک از ۶ جدایه جاروک بادام برای همسانه‌سازی و تعیین ترادف استفاده شد. محصول PCR مطابق روش کمپانی سازنده (*Fermentas, Lithuania*) درون ناقل پلاسمیدی pTZ57R/T قرار داده شد. بدین منظور سه میکرولیتر ناقل پلاسمیدی، ۴ میکرولیتر محصول PCR، ۳ میکرولیتر بافر اتصال X، ۱۰ میکرولیتر سوسپانسیون ۵٪، PEG4000، یک میکرولیتر آنزیم *DNA ligase* (T4 ۵ واحد در میکرولیتر) و ۱۶ میکرولیتر آب م قطر سترون مخلوط و در دمای ۲۲ °C به مدت یک شب نگهداری شد. سپس نمونه‌ها تا زمان استفاده در دمای ۲۰ °C - نگهداری گردید. انتقال پلاسمید نوترکیب به سلول‌های باکتری *Echerichia coli* نرژاد *DH₅α* (transformation) با استفاده از کیت InsT/Aclone PCR product Cloning Kit (Fermentas, Lithuania) و طبق دستورالعمل شرکت

می‌کند. حجم نهایی مخلوط واکنش ۱۵ میکرولیتر و شامل دو میکرولیتر (۵۰ نانوگرم) دی ان ای الگو، ۰/۵ میکرولیتر از هر آغازگر با غلظت پایه ۰/۵ میکرومولار، ۰/۳۵ میکرولیتر از چهار داکسی نوکلئوتید تری فسفات با غلظت پایه ۱۰ میلی مولار، ۱/۵ میکرولیتر بافر یک برابر ۰/۲ میکرولیتر از آنزیم پلیمراز (ساخت شرکت سیناژن ایران) با غلظت پایه پنج واحد در یک میکرولیتر رسانیده شد افزودن آب دیونیزه حجم آن به ۱۵ میکرولیتر رسانیده شد و لوله‌ها در دستگاه ترموسایکلر BIORAD قرار داده شدند. چرخه دمایی PCR عبارت بود از یک چرخه در دمای ۹۴ °C به مدت دو دقیقه برای واسشتگی اولیه و ۳۵ چرخه که هریک شامل یک دقیقه در دمای ۹۴ °C، دو دقیقه در دمای ۵۵ °C و سه دقیقه در دمای ۷۲ °C بود. بسط قطعه‌ها به مدت ۱۰ دقیقه در دمای ۷۲ °C انجام شد. در آزمون PCR دو مرحله‌ای، ابتدا محصول PCR مستقیم با استفاده از آب دوبار تقطیر سترون به نسبت ۱:۳۰ رقیق گردید و از آن به عنوان دی. ان. ای الگو استفاده شد. شرایط PCR دو مرحله‌ای مانند شرایط PCR مستقیم بود. محصول PCR حاصل از هر دو آزمون با استفاده از الکتروفورز در در ژل آگاروز ۱/۲ درصد در بافر (TBE(IX)) ۱۰/۸ گرم تریس، ۵/۵ گرم بوریک اسید، و ۰/۷۵ گرم EDTA در لیتر آب مقطر، pH ۸/۳ مورد بررسی قرار گرفت. پس از رنگآمیزی ژل با اتیدیوم بروماید (μg/ml)، به وسیله دستگاه gel documentation از ژل عکس برداری شد.

آزمون چند شکلی طول قطعات برشی (RFLP)

در این آزمون محصول PCR دو مرحله‌ای (۱۲۰۰ جفت باز) و محصول PCR مستقیم (۱۸۰۰ جفت باز) هرنمونه به طور جداگانه با آنزیمهای *CfoI, HaeIII, Hinfl*،

نتایج

علایم ناشی از جدایه‌های جاروک بادام در نهال‌های بادام تلخ

از حدود یکسال بعد از مایه‌زنی نهال‌های بادام تلخ با جدایه‌های جاروک بادام به تدریج علایم بیماری جاروک در نهال‌های پیوند خورده ظاهر شد. علایم بارز و مشترک جدایه‌های جاروک بادام در نهال‌های بادام تلخ عبارت بودند از رشد تعداد زیادی شاخه‌های باریک همراه با برگ‌های ریز و در نتیجه ایجاد جاروک در بعضی نقاط، تغییر رنگ برگ‌ها، کم رشدی، کاهش فاصله میانگره‌ها و کوتولگی (Stunting). از نظر ریز برگی، شدت جارویی و تغییر رنگ برگ‌ها در بین جدایه‌های مورد آزمایش تفاوت‌هایی وجود داشت و در جدایه‌های مورد مطالعه علاوه بر علایم مشترک، علایم اختصاصی (شکل ۱ و جدول ۲) نیز در بادام تلخ ایجاد شد. علایم اختصاصی جدایه‌های نیریز قرمز شدن برگ‌ها و علایم اختصاصی جدایه‌های نیریز زردی برگ‌های آلوده بود. شدت ریز برگی و کاهش فاصله میانگره‌ها و قرمز شدن برگ‌ها در جدایه سنتنچ ملایم بود. علایم اختصاصی جدایه مشکان، عدم تغییر رنگ در برگ‌های آلوده و خفیف بودن جاروک‌ها و کاهش فاصله میانگره بود.

آزمون PCR

تمامی نمونه‌های جمع‌آوری شده از استان‌های فارس، کرمان و کردستان و همچنین نهال‌های بادام تلخ مایه‌زنی شده با جدایه‌های مختلف عامل احتمالی با آزمون‌های PCR مستقیم و دو مرحله‌ای از نظر آلودگی به فیتوپلاسمای بررسی گردیدند. در هردو آزمون پس از الکتروفوروز محصول PCR در نمونه دی ان ای به ترتیب قطعه‌های ۱۸۰۰ و ۱۲۰۰ جفت بازی مشاهده گردید. تحت همین

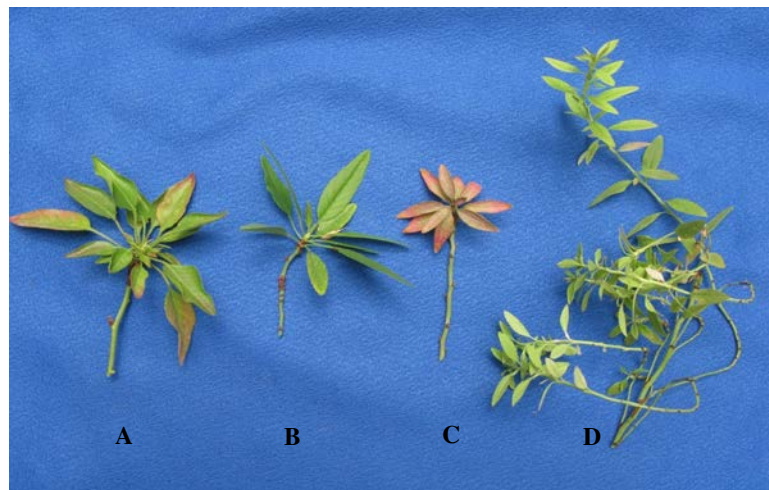
سازنده ترانسفورم و سوسپانسیون سلول‌ها در شرایط استریل روی محیط کشت جامد LB حاوی (40mg/ml) IPTG (25mg/ml) و آمپری سیلین (20 mg/ml) کشت شد. بعد از گذشت یک شب از کشت باکتری، پرگنه‌های سفید برداشته و هر کدام در ۲ میکرولیتر محیط کشت مایع LB حاوی ۱۰۰ میکرولیتر در ۳۷ °C میکرولیتر آمپری سیلین کشت و به مدت یک شب در ۳۷ °C روی انکوباتور گردان (shaker incubator) نگهداری شدند. برای استخراج دی ان ای پلاسمیدهای نوترکیب از سلول‌های باکتری از روش جوشاندن (Holmes and Quigley 1981) استفاده شد. به منظور اطمینان از وجود قطعه مورد نظر در پلاسمید، عمل هضم آنزیمی با استفاده از آنزیم‌های *PstI* و *EcoRI* انجام گرفت. پنج میکرولیتر از پلاسمید همراه پنج واحد از هر کدام از این دو آنزیم و دو میکرولیتر بافر با یکدیگر مخلوط و بعد از رسانیدن حجم مخلوط با آب دیونیزه به ۲۰ میکرولیتر ۶۰ دقیقه در دمای ۳۷ °C نگهداری شد. پس از اطمینان از وجود قطعه مورد نظر در پلاسمید، نمونه‌ها جهت تعیین ترادف به شرکت ماکروژن (سئول، کره‌جنوبی) ارسال گردید.

با استفاده از ترادف‌های به دست آمده و به کاربردن برنامه بلاست (BLAST) نزدیک‌ترین ترادف با عامل بیماری جدایه‌های جاروک بادام مشخص گردید. با به کارگیری نرمافزارهای DNAMAN و DNASTAR و ترادف ۱۲۰۰ جفت باز از ژن ار ان ای ریبوزومی ۱۶S ترادف کامل این ژن و ناحیه SR جدایه‌های بادام با ترادف‌های مشابه در بانک جهانی ترادف‌ها (GenBank) (جدول ۱) مقایسه گردید. با هم‌دیفسازی چندگانه میزان تشابه نوکلئوتیدی مشخص و درخت فیلوجنتیکی ترسیم شد. در این بررسی ترادف مشابه در *Acholeplasma laidlawii* به عنوان outgroup به کار رفت.

جدول ۱. رس شمار فیتو پلاسماهای مورد استفاده در ترسیم درخت فیلوجنتیکی و میزان شباهت نوکلئوتیدی فیتوپلاسماهای همراه با بیماری جاروک بادام

Table 1. Accession number of phytoplasmas used in phylogenetic tree construction and nucleotide similarity comparison of the phytoplasmas associated with almond witches' broom

Acronym	Phytoplasma strain designation	RFLP Group	Accession number
<i>A. laidlawii</i>	<i>Acoleplasma laidlawii</i>		D13260
<i>Ca. P. asteris</i>	<i>Candidatus Phytoplasma asteris</i>	16SrI	M30790
<i>Ca. P. aurantifolia</i>	<i>Candidatus Phytoplasma aurantifolia</i>	16SrII	U15442
<i>Ca. P. brasiliens</i>	<i>Candidatus Phytoplasma brasiliens</i>	16SrXV	AF147708
<i>Ca. P. cynodontis</i>	<i>Candidatus Phytoplasma cynodontis</i>	16SrXIV	AJ550984
<i>Ca. P. fraxini</i>	<i>Candidatus Phytoplasma fraxini</i>	16SrVII	AF092209
<i>Ca. P. mali</i>	<i>Candidatus Phytoplasma mali</i>	16SrX	AJ542541
<i>Ca. P. oryzae</i>	<i>Candidatus Phytoplasma oryzae</i>	16SrXI	D12581
<i>Ca. P. palmae</i>	<i>Candidatus Phytoplasma palmae</i>	16SrIV	U18753
<i>Ca. P. phoenicum</i>	<i>Candidatus Phytoplasma phoenicum</i>	16SrIX	AF515636
<i>Ca. P. trifoli</i>	<i>Candidatus Phytoplasma trifoli</i>	16SrVI	AY392610
<i>Ca. P. ziziphi</i>	<i>Candidatus Phytoplasma ziziphi</i>	16SrV	AY072722
GLL	<i>Gliricidia little leaf</i>	16SrIX	AF361019
PEY	<i>Picris echioides</i> yellows	16SrIX	Y16389
KAP	<i>Knautia arvensis</i> phyllody	16SrIX	Y18052
LWB	<i>Loofah</i> witches' broom	16SrVII	L33764
MPV	<i>Mexican periwinkle</i> phyllody	16SrXIII	AF248960
PPWB	<i>Pigeon pea</i> witches' broom	16SrIX	U18763
Stol	<i>Stolbur</i>	16srXII	X76427
WXD	Western X- disease	16SrIII	L04682
KhAWB	<i>Khafra</i> almond witches' broom	16SrIX	DQ195209
KAWB 1	Kerman almond witches' broom 1	16SrIX	JN565012
KAWB 2	Kerman almond witches' broom 2	16SrIX	JN565013
MAWB	Moshkan almond witches' broom	16SrIX	JN565017
NAWB 1	Neyreez almond witches' broom 1	16SrIX	JN565014
NAWB 2	Neyreez almond witches' broom 2	16SrIX	JN565016
SAWB	Sanandaj almond witches' broom	16SrIX	JN565015



شکل ۱. واکنش نهال‌های بادام تلخ به مایه‌زنی با جدایه‌های فیتوپلاسمای همراه با جاروک بادام. A، کاهش فاصله میانگره، ریز برگی خفیف، قرمزی خفیف برگ‌ها در جدایه سنتندج. B، کاهش فاصله میانگره، ریز برگی خفیف و عدم تغییر رنگ برگ‌ها در جدایه مشکان. C، کاهش فاصله میانگره، ریز برگی و قرمزی شدید برگ‌ها در جدایه‌های کرمان ۱ و کرمان ۲. D، کاهش فاصله میانگره، ریز برگی نسبتاً شدید و زردی برگ‌ها در جدایه‌های نیریز ۱ و نیریز ۲.

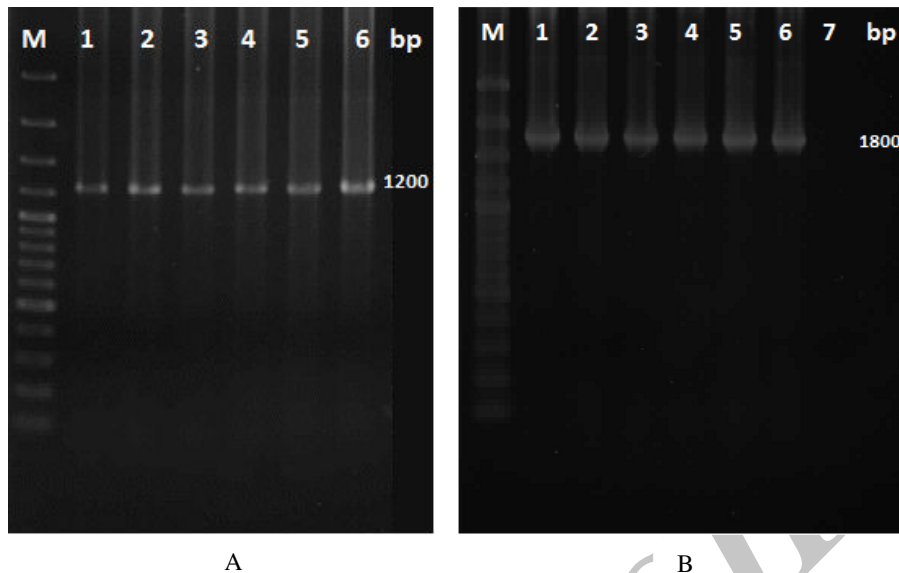
Fig. 1. Reaction of bitter almond seedlings to inoculation with almond witches' broom isolates. A, mild little leaf and witches' broom, mild internode shortening and mild reddening of leaves induced by Sanandaj isolate; B, mild little leaf and witches' broom, mild internode shortening and no obvious change of leaf color induced by the Moshkan isolate; C, severe little leaf, mild witches' broom, internode shortening and severe leaf reddening induced by the Kerman 1 and Kerman2 isolates; D, severe little leaf and witches' broom , internode shortening and leaf yellowing induced by the Neyreez1 and Neyreez 2 isolates.

شرایط در نمونه‌های بادام تلخ سالم چنین باندهایی دیده نشد (شکل ۲).

نقوش حاصل از برش با آنزیم *CfoI* و جدایه کرمان ۲ از نظر نقوش حاصل از برش با آنزیم *HinfII* با بقیه متمایز بود.

همسانه‌سازی و آنالیزهای فیلوژنتیکی
قطعه ۱۸۰۰ جفت بازی از اپرون آر ان ای ریبوزومی جدایه‌های نی ریز ۱، نی ریز ۲، کرمان ۱، کرمان ۲، مشکان و سنتندج همسانه‌سازی و تعیین ترادف گردید و به ترتیب تحت رس شماره‌های JN565016, JN565014, JN565015, JN565017, JN565013, JN565012 بلاست این سنجش از اپرون ار ان ای ریبوزومی نشان داد که در بین فیتوپلاسماهای موجود در بانک جهانی ترادف‌ها

آزمون چند شکلی طولی قطعات برشی نقوش قطعات حاصل از برش محصول PCR دو مرحله‌ای (۱۲۰۰ جفت از ژن آر ان ای ریبوزومی ۱۶S) با آنزیم‌های *CfoI*, *HaeIII*, *HinfII*, *HpaII*, *RsaI*, *TaqI* و *AluI* در ژل آگاروز دو درصد (شکل ۳) نشان داد که نقوش حاصل از برش با آنزیم‌ها در جدایه‌های جاروک بادام یکسان می‌باشند. در نقوش الکتروفورز محصول برش PCR مستقیم جدایه‌ها با جفت آغازگر P1/P7 (۱۸۰۰ جفت باز از اپرون آر ان ای ریبوزومی) با آنزیم‌های مذکور (شکل ۴) فقط جدایه مشکان از نظر

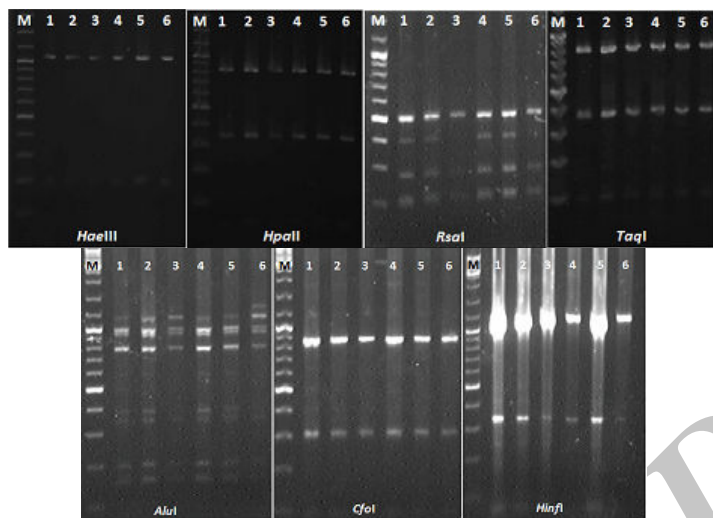


شکل ۲. الکتروفورز محصول PCR مستقیم (۱۲۰۰ جفت باز از آر ان ای ریبوزومی) با جفت آغازگر P1/P7 (A) و PCR دو مرحله‌ای (۱۲۰۰ جفت باز از ژن آر ان ای ریبوزومی ۱۶S) با جفت آغازگرهای P1/P7 و R16F2n/R16R2 (B) در ژل آکاروز ۲/۱ درصد. نشانگر جرم مولکولی. راهک‌های ۱، ۲، ۳، ۴، ۵ و ۶ به ترتیب نهال‌های بادام تلغ مایه‌زنی شده با جدایه‌های نیریز ۱، نیریز ۲، مشکان، کرمان ۱، کرمان ۲ و سنتدج. راهک ۷ بادام تلغ سالم.

Fig. 2. Electrophoresis of direct PCR product using primer pair P1/P7(A) and nested PCR using primer pairs P1/P7 and R16F2n/R16R2 (B) in 1.2% agarose gel. Lane M, DNA ladder. Lanes 1-6, bitter almond graft inoculated with phytoplasma agent of Neyreez1, Neyreez2, Moshkan, Kerman1, Kerman2, and Sanandaj almond witches' broom isolates , respectively. Lane 7 healthy bitter almond.

جدایه‌های مورد بررسی از ۹۹/۳٪ تا ۹۹/۷٪ متغیر بود. بیشترین تفاوت ترادف نوکلئوتیدی در ناحیه SR مشاهده گردید (جدول ۳) که از ۹۸/۱٪ تا ۹۸/۶٪ متغیر بود. در بین ۶ جدایه مورد بررسی جدایه مشکان تشابه کمتری با بقیه داشت و به جز با جدایه نی‌ریز ۱ میزان تشابه نوکلئوتیدی آن با سایر جدایه‌ها از ۹۸/۱٪ تا ۹۸/۷٪ متغیر بود. در هر سه نوع مقایسه تفاوت میزان تشابه نوکلئوتیدی Salehi *et al.* 2006) با سایر جدایه‌ها بیشتر بود بعد از جدایه خفر جدایه‌های مورد بررسی به ترتیب بیشترین تفاوت را با *Ca. P. mali* (فیتوپلاسمای همراه جاروک سیب) و *Acholeplasma laidlawii* یک مولیکوت

جادایه‌های جاروک بادام مورد بررسی، بیشترین نزدیکی با فیتوپلاسماهای گروه آر ان ای ریبوزومی 16S rIX را دارند. در بین فیتوپلاسماهای گروه 16S rIX بیشترین شباهت نوکلئوتیدی با فیتوپلاسمای همراه جاروک بادام (Ca. P. phoenicum) دیده شد. مقایسه چند ردیفی محصول PCR دو مرحله‌ای (قطعه ۱۲۰۰ جفت بازی ژن آر ان ای ریبوزومی 16S SR، و ترادف کامل ژن 16S برای جدایه‌های جاروک بادام در ایران و فیتوپلاسماهای انتخابی انجام شد. با قطعه ۱۲۰۰ جفت بازی میزان تشابه نوکلئوتیدی جدایه‌های مورد مطالعه حدود ۱۰۰ درصد بود و جدایه‌ها قابل تشخیص نبودند. با ترادف کامل ژن آر ان ای ریبوزومی 16S میزان تشابه نوکلئوتیدی بین



شکل ۳. چند شکلی طول قطعات بر بشی (RFLP) محصول PCR دو مرحله‌ای با جفت آغازگرهای P1/P7 و R16F2n/R 16R2 با آنزیم‌های بر بشی *HaeIII*, *HpaII*, *RsaI*, *TaqI* در ژل آگاروز دو درصد. راهک‌های ۱، ۲، ۳، ۴، ۵، ۶ به ترتیب نمونه‌های نیریز ۱، نیریز ۲؛ مشکان، کرمان ۱، کرمان ۲ و سنتج. راهک M، نشانگر جرم مولکولی.

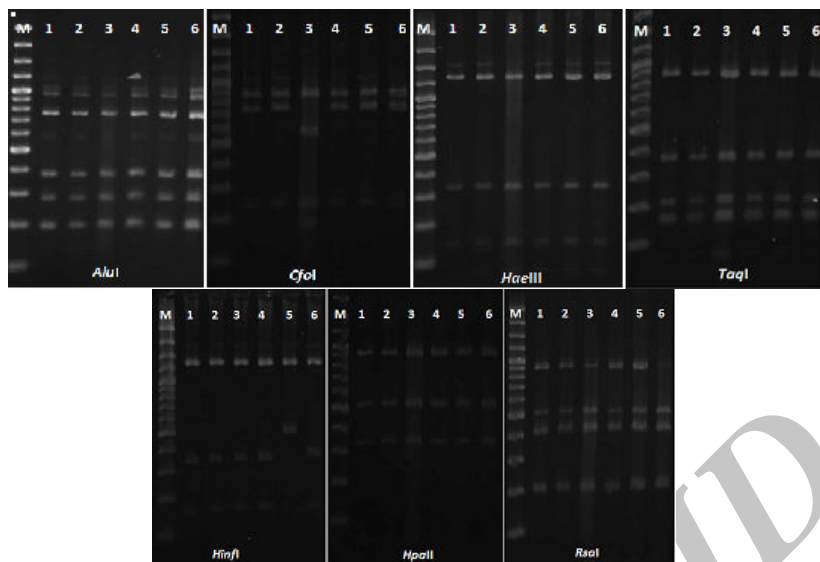
Fig. 3. Restriction fragment length polymorphism (RFLP) profiles of nested polymerase chain reaction products using P1/P7 followed by R16F2n/R2 primer pairs from bitter almond inoculated with Neyreez1, Neyreez2, Moshkan, Kerman1, Kerman2, and Sanandaj almond witches' broom isolates (Lanes 1-6, respectively). Lane M, DNA ladder. DNA products were digested with *AluI*, *CfoI*, *HaeIII*, *Hinfl*, *HpaII*, *RsaI* and *TaqI* and separated through a 2% agarose gel.

۱۴۷۰ جفت باز) و حدود ۱۸۰۰ جفت باز از اپرونون آر ان ای ریبوزومی (شکل‌های ۶ و ۷) نشان داد که این جدایه‌ها با وجود نزدیکتر بودن به *Ca. Phytoplasma phoenicum* تفکیک می‌باشند. این تفاوت‌ها در درخت تبارزایی براساس ۱۸۰۰ جفت باز از اپرونون آر ان ای ریبوزومی محسوس‌تر بود. در تمام ارزیابی‌های فیلوژنتیکی جدایه خفر در مقایسه با جدایه‌های دیگر جاروک بادام رابطه دورتری را با *Ca. Phytoplasma phoenicum* داشت.

بحث

بیماری جاروک در حال حاضر یکی از مخرب‌ترین بیماری‌های بادام در کشور ایران ولبنان است (Salehi and Izadpanah 1995, Choueiri et al. 2001, Abou-

سایپروفیت نزدیک به فیتوپلاسماهای به عنوان outgroup داشتند. درخت‌های تبارزایی با استفاده از قطعه ۱۲۰۰ جفت بازی از ابتدای ژن آر ان ای ریبوزومی 16S، ناحیه SR و ترافد کامل ژن آر ان ای ریبوزومی 16S برای جدایه‌های جاروک بادام در ایران و فیتوپلاسماهای انتخابی ترسیم گردید (شکل‌های ۵ تا ۷). براساس هر سه درخت تبارزایی جدایه‌های جاروک بادام با فیتوپلاسماهای گروه جاروک نخود کبوتر (16SrIX) گروه‌بندی می‌شوند و رابطه نزدیکی با *Ca. P. phoenicum* همراه با جاروک بادام دارند. درخت فیلوژنتیکی حاصل از مقایسه ۱۲۰۰ جفت باز از ژن آر ان ای ریبوزومی (شکل ۵) نشان داد که جدایه‌های جاروک بادام مورد مطالعه با یکدیگر تفاوت ندارند ولی درخت‌های فیلوژنتیکی حاصل از مقایسه ترافد کامل ژن آر ان ای ریبوزومی 16S (حدود



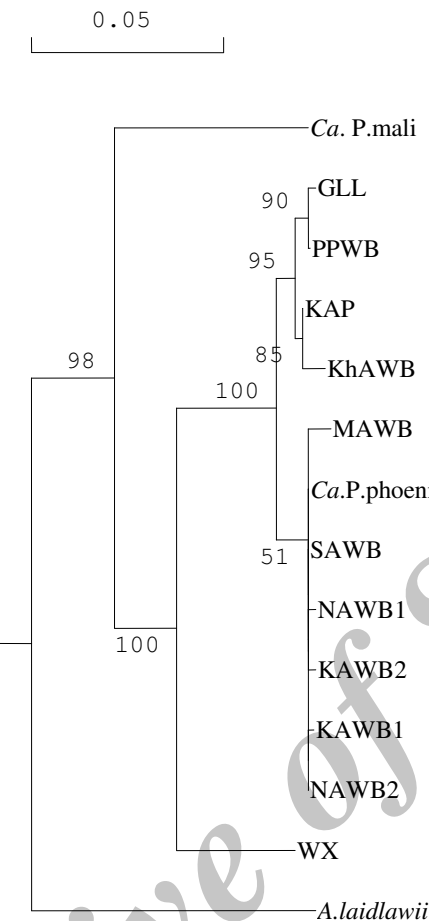
شکل ۴. چند شکلی طول قطعات برشی (RFLP) محصول PCR با جفت اغازگر P1/P7 به وسیله آنزیم‌های برشی , *CfoI*, *HaeIII*, *Hinfl*, *AluI* *HpaII*, *RsaI*, *TaqI* در ژل آکاروز دو درصد راهک‌های آنومه‌های نیریز ۱، نیریز ۲؛ مشكان، کرمان ۱، کرمان ۲ و سندج. راهک M نشانگر جرم مولکولی

Fig. 4. Restriction fragment length polymorphism (RFLP) profiles of direct polymerase chain reaction products using P1/P7 primer pair from bitter almond inoculated with Neyreez1, Neyreez2, Moshkan, Kerman1, Kerman2, and Sanandaj almond witches' broom isolates (Lanes 1-6, respectively). Lane M, DNA ladder. DNA products were digested with *AluI*, *CfoI*, *HaeIII*, *Hinfl*, *HpaII*, *RsaI* and *TaqI* and separated through a 2% agarose gel.

جدول ۲. علایم جدایه‌های مختلف جاروک بادام در نهال‌های بادام تلخ

Table 2. Disease symptoms induced by different isolates of almond witches' broom in bitter almond seedlings

Isolates	Disease symptoms
Neyreez1	Severe little leaf and witches' broom , internode shortening and leaf yellowing
Neyreez 2	Severe little leaf and witches' broom , internode shortening and leaf yellowing
Sanandaj	Mild little leaf and witches' broom, mild internode shortening and mild reddening of leaves
Moshkan	Mild little leaf and witche's broom, mild internode shortening and no obvious change of leaf color
Kerman1	Severe little leaf, mild witches' broom,internode shortening and leaf reddening
Kerman2	Severe little leaf, mild witches' broom,internode shortening and severe leaf reddening

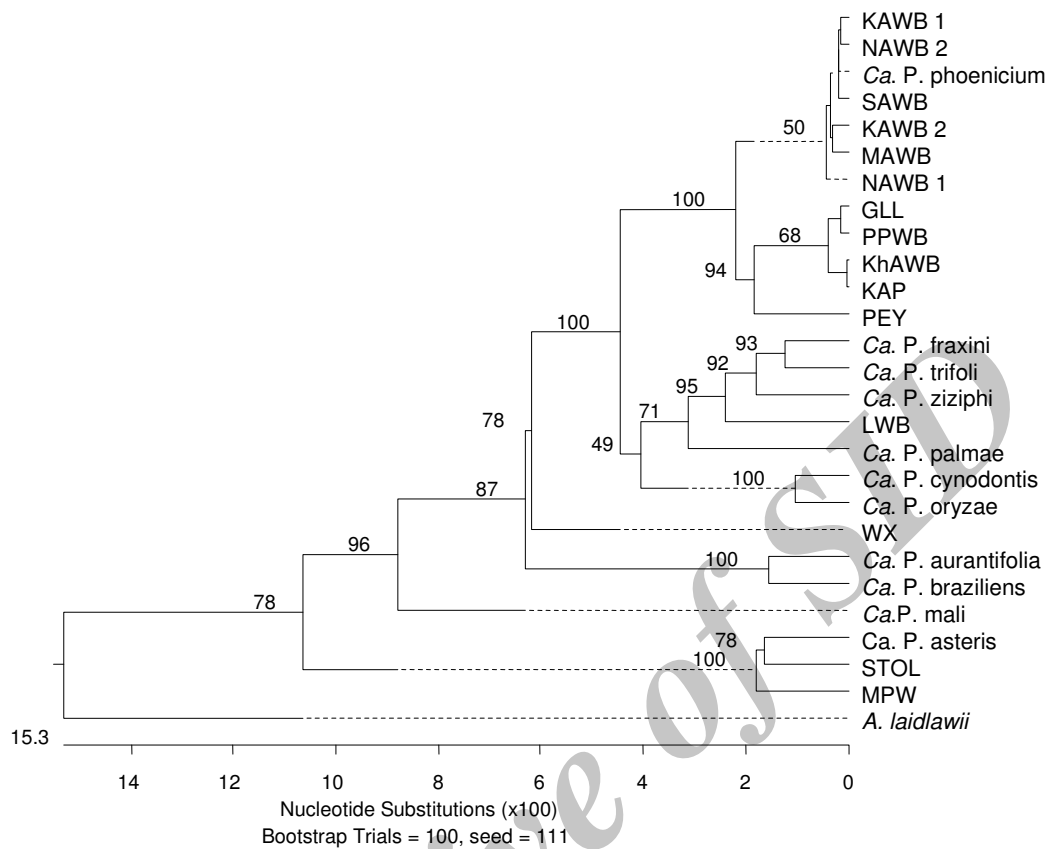


شکل ۵. دندروگرام حاصل از شباهت ترداد نوکلئوتیدی ۱۲۰۰ جفت باز از ژن آر ان ای ریوزومی ۱۶S سیزده فیتوپلاسما و به عنوان *Acholeplasma laidlawii* با استفاده از گزینه درخت فیلوزنیکی در نرم افزار DNAMAN. برای اسامی فیتوپلاسمها و رسان شمارها به جدول شماره ۱ رجوع شود.

Fig. 5. Phylogenetic tree constructed from the alignment of 1200 bp of 16S rRNA gene of 13 phytoplasmas and *A. laidlawii*, as outgroup using phylogenetic option of DNAMAN software. See Table 1 for abbreviations and accession numbers.

(استان کرمان) مشکان (استان فارس) و سنتدج (استان کرستان) گزارش می‌شود. براساس مایه‌زنی نهال‌های سالم بادام تلخ با جدایه‌های فیتوپلاسمای همراه جاروک بادام در شرایط کنترل شده و ایجاد علایمی متفاوت توسط این فیتوپلاسمها در نهال‌های بادام تلخ (شکل ۱ و جدول ۲)، آزمون چند شکلی طولی قطعات برشی (شکل ۴)، مقایسه میزان تشابه نوکلئوتیدی (جدول ۳) و آنالیز

Jawdah *et al.*, 2002 به عنوان یک بیماری فیتوپلاسمایی و مهم از مناطق خفر، Salehi and Izadpanah (1995; Salehi and Izadpanah 1998 چهارمحال و بختیاری (شهرکرد)، اصفهان (شهرضا) و کرمان (بافت) (Salehi *et al.* 2000) گزارش شده بود. در این تحقیق برای اولین بار بیماری جاروک از کرمان

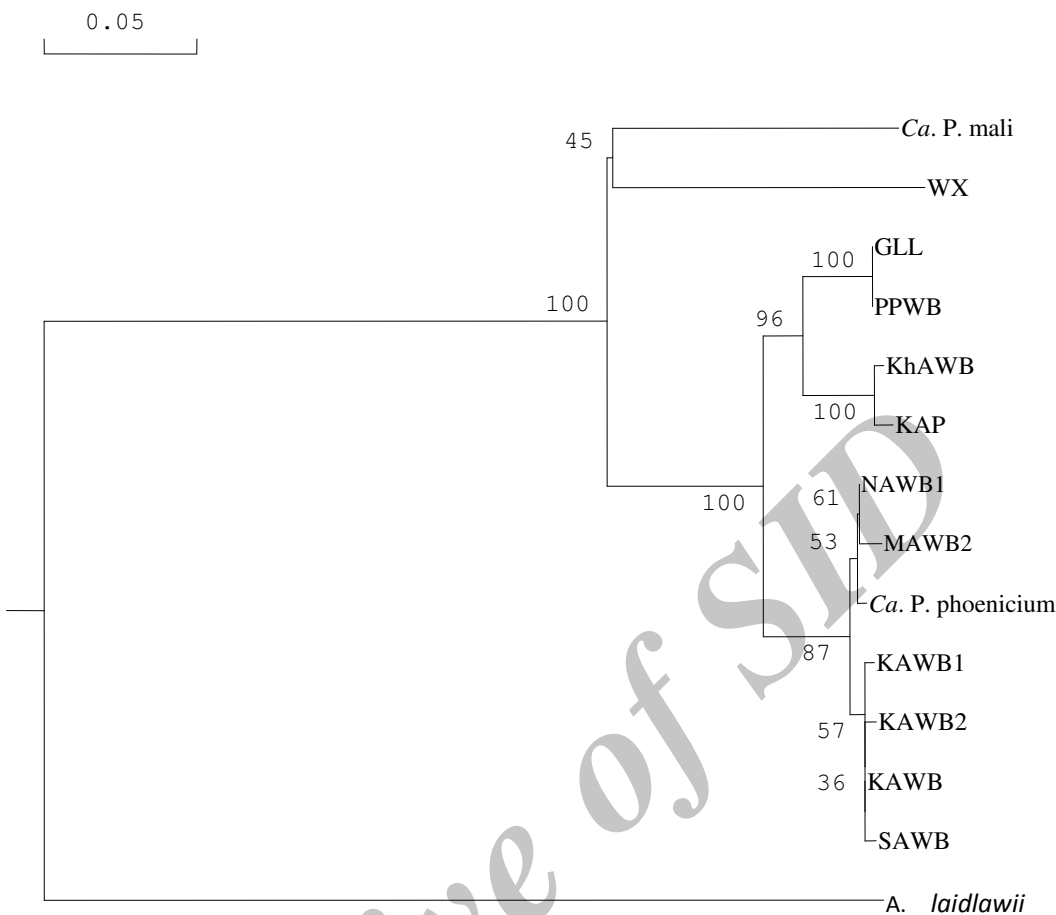


شکل ۶. دندروگرام حاصل از شباهت ترادف نوکلئوتیدی ژن آر ان ای ریبوزومی 16S بیست و شش فیتوپلاسمما و با *Acholeplasma laidlawii* استفاده از گزینه درخت فیلوژنتیکی در نرم افزار DNASTAR. برای اسامی فیتوپلاسمها و رس شماره به جدول شماره ۱ رجوع شود.

Fig. 6. Phylogenetic tree constructed from the alignment of full length sequences of 16S rRNA gene of 26 phytoplasmas and *Acholeplasma laidlawii* as outgroup, using phylogenetic tree option of DNASTAR software. See Table 1 for abbreviations and accession numbers.

(شکل ۳) ولی هضم آنزیمی محصول PCR مستقیم با جفت آغازگر P1/P7 شامل ژن آر ان ای ریبوزومی 16S، فاصله میانی ژن ریبوزومی 16S و ۲۳S و ابتدای ژن ۲۳S (۱۸۰۰ جفت باز) با آنزیم‌های مذکور نشان داد که جدایه‌های مورد مطالعه یکسان نیستند و براساس مقایسه نقش حاصل از هضم آنزیمی با آنزیم بررشی *CfoI* جدایه مشکان و براساس هضم آنزیمی با آنزیم بررشی *HinfI*

تبارزایی (شکل‌های ۶ و ۷) تنوع زنتیکی در بین جدایه‌های RFLP جاروک بادام مورد بررسی وجود دارد. براساس PCR دومرحله‌ای (تقرباً ۱۲۰۰ جفت باز از ابتدای ژن آر ان ای ریبوزومی) با آنزیم‌های *AluI*, *CfoI*, *HaeIII*, *HinfI*, *HpaII*, *RsaI*, *TaqI* استان کرمان (کرمان ۱ و کرمان ۲)، استان فارس (مشکان، نیریز ۱ و نیریز ۲) و یک جدایه از سنتنچ تفاوتی دیده نشد.



شکل ۷. دندروگرام حاصل از شباهت ترادف نوکلئوتیدی ۱۸۰۰ جفت باز از خوش ژنی آر ان ای ریبوزومی سیزده فیتوپلاسما و *Acholeplasma laidlawii* به عنوان **outgroup** با استفاده از گزینه درخت فیلوژنتیکی در نرم افزار DNAMAN برای اسامی فیتوپلاسمها و رسن شمارها به جدول شماره ۱ رجوع شود.

Fig. 7. Phylogenetic tree constructed from the alignment of 1800 bp of rRNA operon of 13 phytoplasmas and *Acholeplasma laidlawii* as outgroup, using phylogenetic tree option of DNAMAN software. See Table 1 for abbreviations and accession numbers.

تفاوت قابل ملاحظه‌ای دارد (شکل ۷). در آزمون RFLP مقایسه میزان تشابه نوکلئوتیدی و آنالیز تبارزایی، جدایه‌های جاروک بادام حداقل تا ۱۲۰۰ جفت باز از ابتدای ژن آر ان ای ریبوزومی 16S ۱۶۰۰ تفاوت ژنتیکی ندارند و تفاوت ژنتیکی مشاهده شده مربوط به ۶۰۰ جفت باز از اپرون ار ان ای ریبوزومی شامل انتهای ژن 16S، ناحیه SR و ابتدای ژن 23S می‌باشد. به نظر می‌رسد برای بررسی

جدایه کرمان ۲ با سایر جدایه‌ها تفاوت دارند (شکل ۴). در مجموع جدایه‌ها به سه گروه تقسیم می‌شوند. گروه اول شامل جدایه مشکان، گروه دوم شامل جدایه کرمان ۲ و گروه سوم شامل جدایه‌های کرمان ۱، نیریز ۱، نیریز ۲ و سنتنج می‌باشند. مقایسه میزان تشابه نوکلئوتیدی در ناحیه SR نیز نشان داد که جدایه‌های جاروک بادام یکسان نیستند و بهویژه جدایه مشکان با دیگر جدایه‌های مورد مطالعه

جدول ۳. درصد تشابه نوکلئوتیدی بین جدایه‌های جاروک بادام مورد استفاده در این مطالعه

Table 3. Percent sequence identity between almond witches' broom isolates used in this study

	KhAWB*	KAWB1	KAWB2	MAWB	NAWB1	NAWB2	SAWB	AP	<i>A. laidlawii</i>
KhAWB	98.7	98.7	98.5	98.9	98.8	98.7	82.4	42.3	
KAWB1		99.6	98.5	99.2	99.6	99.6	82.9	42.8	
KAWB2			98.1	98.9	99.2	99.2	82.4	42.8	
MAWB				99.2	98.1	98.1	81.4	42.8	
NAWB1					98.9	98.9	82.4	42.4	
NAWB2						99.2	82.9	42.8	
SAWB							82.4	42.8	
AP								42.3	

*: برای اسامی فیتوپلاسماهای و رس شماره‌های مربوطه به جدول شماره ۱ مراجعه شود.

*: see Table 1 for abbreviations and accession numbers.

میزانی نیز می‌تواند در تنوع ژنتیکی عامل جاروک بادام تأثیرگذار می‌باشد. پیشتر نیز گزارش شده بود که فیتوپلاسماهای عامل بیماری جاروک بادام در مناطق نیریز و خفر (استان فارس) یکسان نیستند و در مقایسه با فیتوپلاسمای عامل جاروک بادام در خفر، فیتوپلاسمای عامل جاروک بادام در نیریز شباهت بیشتری به فیتوپلاسمای عامل جاروک بادام در لبنان دارد (Salehi *et al.* 2006). در تحقیق حاضر نیز وجود این تفاوت تأیید شد. بررسی‌های بیشتر ممکن است وجود میزان بالاتری از تنوع را آشکار سازد.

منابع

جهت ملاحظه به صفحات (121- 122) متن انگلیسی مراجعه شود.

تنوع ژنتیکی جدایه‌های جاروک بادام ترادف محصول PCR با جفت آغازگر R16f2n/R16R2 (R16f2n/R16R2 (۱۲۰۰) جفت باز از ژن ار ان ای ریبوزومی) مناسب نیست و ترادف محصول PCR با جفت آغازگر P1/P7 که شامل ناحیه SR می‌شود ترجیح داده می‌شود. پیشتر اهمیت ناحیه SR برای تشخیص فیتوپلاسماهای نزدیک گزارش شده است (Kirkpatrick *et al.* 1994). کشت بادام در ایران سابقه بسیار طولانی دارد و منشأ بادام را به ایران و کشورهای آسیای مرکزی نسبت می‌دهند (Kester & Gradziel 1996). بهدلیل سابقه طولانی کشت بادام و بهویژه وجود ارقام وحشی بادام در ایران که در آنها نیز بیماری جاروک گزارش شده (Salehi *et al.* 2000) و تنوع عالیم بیماری جاروک بادام در برخی نقاط ایران، تنوع ژنتیکی در فیتوپلاسمای عامل جاروک بادام دور از انتظار نبود. پیشتر آلودگی طبیعی هلو و شلیل در ایران (Abou-Jawdah *et al.* 2006) و لبنان (Salehi *et al.* 2002) گزارش شده است و در ازمایشگاه نیز عامل بیماری جاروک بادام از طریق پیوند به اکثر هسته‌دارها قابل انتقال بوده است (Abbasian & salehi 2010).